

目录

一、 问题重述	1
1.1 问题背景	1
1.2 问题概述	1
二、 模型假设	1
三、 符号说明	2
四、 问题一模型的建立与求解	2
4.1 问题描述与分析	2
4.2 模型的建立	3
4.2.1 经典旅行商模型	3
4.3 模型的求解	3
4.3.1 遗传算法	3
4.3.2 动态赌轮	4
五、 问题二模型的建立与求解	5
5.1 问题描述与分析	5
5.2 模型的建立	5
5.2.1 带约束的多旅行商模型	5
5.3 模型的求解	5
六、 灵敏度分析	5
七、 模型的评价	5
7.1 模型的优点	5
7.2 模型的缺点	5
7.3 模型改进	6
附录 A 模型的代码实现	8
A.1 数据可视化—python 源代码	8

一、问题重述

1.1 问题背景

在物资调运过程中，完成指定点的调运任务是最基本的要求，在完成基本的任务之外，往往有更高的追求，比如如何使总运费最省？怎样才能使得运输时间最短？如何选择运输路径使得运输总距离最短等等。这些更高的追求往往是企业期望达到的目标，为了解决这些类似问题，有必要对物资调运的过程进行数学模型的建立，以期通过模型来理解和分析物资调运的过程，并为其找到解决的方法。现以具体的食品调运案例进行分析研究。

某食品公司有 19 个食品销售点，销售点的地理坐标和每天的需求量见附件。每天凌晨都要从仓库（第 20 号站点）出发将食品运至每个销售点，运送物品后最终返回仓库。现有运送食品的运输车，每台车每日工作 4 小时，运输车重载运费 2 元/吨公里，并且假定街道方向均平行于坐标轴，任意两站点间都可以通过一次拐弯到达。

1.2 问题概述

围绕相关附件和条件要求，研究食品运输车在各仓库间的调度方案，依次提出以下问题：

问题一：若只有一辆载重 100 吨的大型运输车，运输车平均速度为 40 公里 / 小时，每个销售点需要用 20 分钟的时间下货，空载费用 0.6 元/公里。它送完所有食品并回到仓库，求最少需要时间及其对应的总距离，总运费。

问题二：有一种小型运输车，运输车平均速度为 50 公里 / 小时，每个销售点需要用 5 分钟的时间下货，载重为 6 吨，空载费用 0.4 元/公里；要使它们送完所有食品并回到仓库，运输车应如何调度使总体调度效率最高？

问题三：如果有载重量为 4 吨、6 吨两种运输车，空载费用分别为 0.2、0.4 元/公里，其他条件均相同，又如何安排车辆数和调度方案。

二、模型假设

- (1) 为保证预测结果精确性，假设题目所给出数据真实可信。
- (2) 假设重点防控的区域和人群中，发病、死亡人数的增长率比其基数更加重要

三、符号说明

符号	说明
$X^{(i)}$	人数时间序列
a	发展灰度
u	内生控制灰度

四、问题一模型的建立与求解

4.1 问题描述与分析

问题一要求规划大型运输车的行驶路径，使得货物运输时间达到最短。该问题本质是旅行商问题，基于街道方向均平行于坐标轴，我们求解任意两点间的曼哈顿距离作为其间的距离，并设计动态赌轮遗传算法对其进行求解。

其思维流程图如图 2 所示：

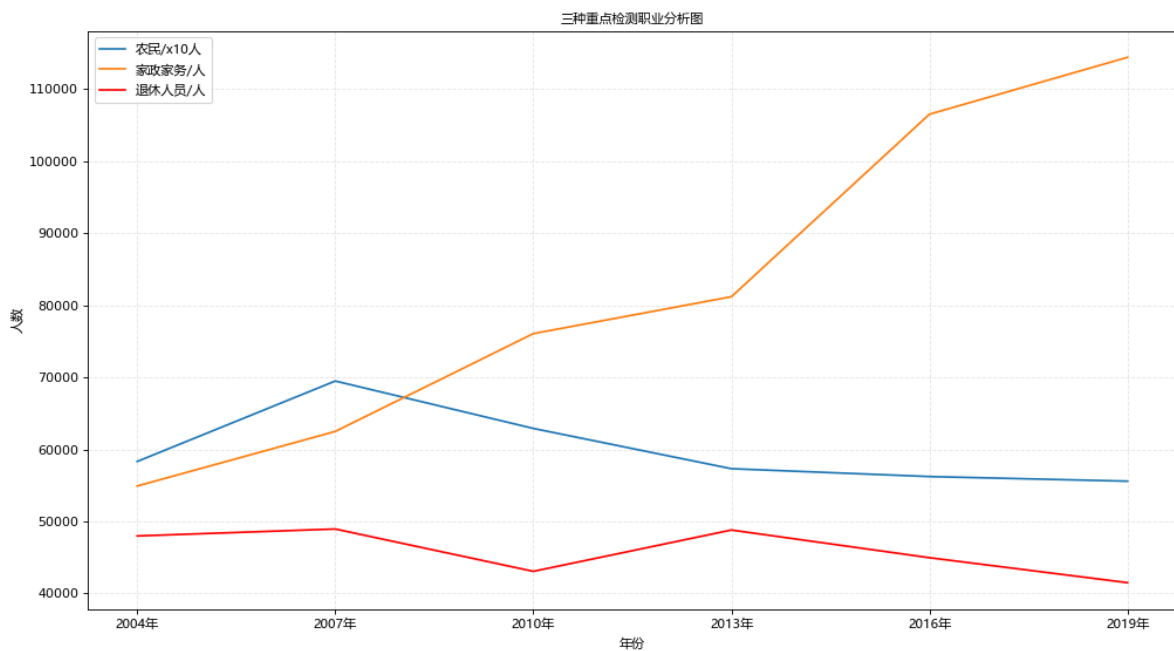


图 1 问题一思维流程图

4.2 模型的建立

4.2.1 经典旅行商模型

分析问题一，由于大型运输车的行驶速度固定，优化行驶路径使得运输车行驶路程最短时，即可求得最小运输时间。遍历路径可表示为二维有限序列如下：

$$P_n = [p_1, p_2, \dots, p_i, \dots, p_{19}] \quad (1)$$

其中 $p_i (1 \leq i \leq 19, i \in Z)$ 表示处运输起点外的的仓库坐标, 且对于 $\forall i \neq j$ 都有 $p_i \neq p_j$ 。任意两坐标点 $p_i(x_i, y_i), p_j(x_j, y_j)$ 间的曼哈顿距离可表示为：

$$d(p_i, p_j) = |x_i - x_j| + |y_i - y_j| \quad (2)$$

将运输车行驶路程作为优化目标即可得到目标函数如下：

$$f(P_n) = d(p_0, p_1) + d(p_0, p_{19}) + \sum_{i=1}^{18} d(p_i, p_{i+1}) \quad (3)$$

即可得到整体优化模型如下：

$$f(P_n) = d(p_0, p_1) + d(p_0, p_{19}) + \sum_{i=1}^{18} d(p_i, p_{i+1}) \quad (4)$$

$$\begin{cases} 1 \leq i \leq 19, i \in Z \\ \forall i \neq j, p_i \neq p_j \end{cases} \quad (5)$$

4.3 模型的求解

4.3.1 遗传算法

初始化编码 对于表示为二维有限序列的遍历路径 P_n ，对其进行整数编码为

$$A_n = [a_{n1}, a_{n2}, \dots, a_{ni}, \dots, a_{n19}], \quad (6)$$

$$1 \leq a_i \leq 19, i \in Z; \forall i, \neq j \Rightarrow p_i \neq p_j \quad (7)$$

定义 A_n 为解序列 P_n ，其中 a_{ni} 表式对应仓库的访问顺序，例如 $ai = 7$ 表示第 i 次访问 7 号仓库。即随机生成初始解集 $A = \{A_n\}$ 其中 $n = 1, 2, \dots, w, w$ 为的种群容量。

交叉 在原染色解集 $\{A_n\}$ 中的染色体按照随机顺序配对，按照以下的方式交叉 (补全)，生成交叉解集 $\{H_n\}$

2. Order Crossover (顺序交叉)

a. 在父代样本 1 中选择交换部分

1	2	3	4	5	6	7	8	9
---	---	---	---	---	---	---	---	---

父代 2

5	4	6	9	2	1	7	8	3
---	---	---	---	---	---	---	---	---

b. 根据交叉部分生成子代 1

		3	4	5	6			
--	--	---	---	---	---	--	--	--

c. 将父代样本 2 中未被选择到的基因按顺序复制到子代 1 中

9	2	3	4	5	6	1	7	8
---	---	---	---	---	---	---	---	---

5	4	6	9	2	1	7	8	3
---	---	---	---	---	---	---	---	---

然后对父代样本 2 选择交叉部分生成子代 2，将父代样本 1 中未被选择到的基因按顺序复制到子代 2 中。

图 2 交叉

变异 鉴于序列式染色体的特殊性，为了在变异阶段内尽可能不破坏原有的基因段，采取改良圈算法的思路进行变异操作。即在染色体 A 中随机选取 a_i 与 $a_j (1 \leq i < j \leq j)$ ，颠倒 a_{ni} 与 a_{nj} 间顺序的顺序，即：

$$M = [a_1, \dots, a_i, a_{j-1}, a_{j-2}, \dots, a_{i+1}, a_i, \dots, a_{19}] \quad (8)$$

M 为染色体 A 对应的变异染色体，对于每个染色体 A_n ，都设定相同的变异概率 γ 去执行上述的变异操作。

4.3.2 动态赌轮

将第 g 代的染色体与其交叉和变异产生的子代并入同一解集 $G_g = \{A, H, M\}$ 。 k 表示原解集 A ，交叉解集 H 和变异解集 M 中解的数量之和，即为 G_g 中的解的数目。设置 G_g 第 i 个解 $G_g(i)$ 被选择进入下一代的概率为：

$$P(G_g(i)) = \frac{w f^{-g/\gamma}(G_g(i))}{\sum_{j=1}^k f^{-g/\gamma}(G_g(j))} \quad (9)$$

$f^{-g/\gamma}(G_g(i))$ 为 $G_g(i)$ 对应的目标函数值，即为 $G_g(i)$ 对应的适应度。其中参数 γ 为衰减系数， w 为种群容量。即适应度值相对较小的解保留概率将逐渐增大，即算法初始阶

段将保留丰富度尽可能多的解，而愈到算法后期，策略就越接近于精英策略，加快算法的收敛速度，即有：

$$\lim_{g \rightarrow \infty} P(G_g(min)) = \lim_{g \rightarrow \infty} \frac{wf^{-g/\gamma}(min)}{\sum_{j=1}^k f^{-g/\gamma}(G_g(j))} \rightarrow 1 \quad (10)$$

该式表明当迭代次数 g 足够大时，选择策略将趋近于为精英策略，将加速算法的收敛。

五、问题二模型的建立与求解

5.1 问题描述与分析

问题二要求设计小型运输车的调度方案，从而使得总体调度效率最高。我们将时间限制设置为约束，着重优化方案的经济效率。在问题一的基础上重新建立模型，鉴于第二问的决策变量是多段序列的和，我们设计了插板编码对决策变量进行编码，并基于问题一中的动态赌轮遗传算法以运输总成本为目标进行优化。

5.2 模型的建立

5.2.1 带约束的多旅行商模型

当雇佣 b 辆小型运输车时，总决策序列可表示为

$$P_n = \{[p_1, p_2]_1, [\dots, p_i]_j, [\dots]_{b-1}, [p_{19}]_b\} \quad (11)$$

即将类似于模型一中的坐标序列分割为多段，每一段分别由一辆小型运输车单独完成，定义

$$B_j = \quad (12)$$

5.3 模型的求解

六、灵敏度分析

七、模型的评价

7.1 模型的优点

- (1) 利用马尔可夫模型改进后的灰度预测值与实际值拟合度更高，波动性保持一致，预测的效果更好。
- (2) 针对支持向量回归参数选取，利用灰色关联度筛选合适指标，相较于主观选取指标具有客观性、严谨性。

7.2 模型的缺点

问题一、二中的灰色预测模型只能做短期预测，并不适用于长期预测。

7.3 模型改进

可以通过序列最小优化算法 (Sequential Minimal Optimization, SMO) 作为样本的训练算法，进而建立序列最小优化支持向量回归模型，从而减小算法复杂度，提高算法的求解速度。

参考文献

- [1] 张斯嘉, 郭建胜, 钟夫, 等. 基于蝙蝠算法的多目标战备物资调运决策优化 [J]. 火力与指挥控制, 2016, 41(1): 58-61.
- [2] 李健, 张文文, 白晓昀, 等. 基于系统动力学的应急物资调运速度影响因素研究 [J]. 系统工程理论与实践, 2015, 35(3): 661-670.
- [3] Wang J, Ersoy O K, He M, et al. Multi-offspring genetic algorithm and its application to the traveling salesman problem[J]. Applied Soft Computing, 2016, 43: 415-423.
- [4] 陶丽华, 马振楠, 史朋涛, 等. 基于 TSP 问题的动态蚁群遗传算法 [J]. 机械设计与制造, 2019 (12): 39.

附录 A 模型的代码实现

A.1 数据可视化–python 源代码

```
_xtick_labels = ["{}年".format(int(i)) for i in x]
plt.xticks(x, _xtick_labels, fontproperties=my_font)
# plt.yticks(range(0, 9))

# 绘制网格
plt.grid(alpha=0.3, linestyle="--") # alpha为透明度 0-1
plt.title("三种重点检测职业分析图", fontproperties=my_font)
plt.xlabel("年份", fontproperties=my_font)
plt.ylabel("患病人数", fontproperties=my_font)
# 标注图例
plt.legend(prop=my_font, loc=0)
plt.show()
```